



Laboratorium EMVO Sp. J. Urbański, Pawełak
ul. Jasna 1
00-013 Warszawa

tel. +48 22 780 29 64
e-mail: laboratorium@emvo.pl



AB 1630

Sprawozdanie z pomiarów pól elektromagnetycznych - środowisko nr 13/09/OŚ/2022- P4-W



Nr i nazwa stacji	KIE1040G	
Adres	Kielce, Wesola 9, pow. Kielce, woj. świętokrzyskie	
Opracowanie	Martyna Karczmarczyk	Specjalista ds. pomiarów
Autoryzacja	Andrzej Urbański	Kierownik Laboratorium
Podpis	Signature Not Verified ? Dokument podpisany przez Andrzej Urbański Data: 2022.09.08 09:19:06 CEST Powód: Zatwierdzam dokument	
Data	2022-09-05	

Spis treści

1. Informacje ogólne.....	3
2. Podstawa prawna.....	3
3. Opis pomiarów.....	4
4. Zróżnicowanie dopuszczalne poziomy pól elektromagnetycznych.....	5
5. Charakterystyka źródeł PEM.....	5
6. Wyniki pomiarów.....	5
7. Stwierdzenie zgodności	6
8. Oświadczenie.....	9
9. Spis załączników.....	9

1. Informacje ogólne.

Zleceniodawca	P4 sp. z o.o., ul. Wynałazek 1, 02-677 Warszawa osoba udzielająca informacji- Monika Bieroza
Istotne informacje dostarczone przez klienta	komplet informacji niezbędnych do wykonania pomiarów i opracowania sprawozdania
Dane otrzymane od klienta mogące mieć wpływ na ważność wyników	Dane anten sektorowych, dane anten radioliniowych, parametry pracy instalacji, ustawienie pochylenia anten
Prowadzący instalację	P4 sp. z o.o., ul. Wynałazek 1, 02-677 Warszawa
Lokalizacja obiektu	Kielce, Wesoła 9, pow. Kielce, woj. świętokrzyskie
Miejsce instalacji anten	Dach budynku
Miejsce instalacji urządzeń	Outdoor
Osoby wykonujące pomiar	Jarosław Buzafa
Data wykonania pomiaru	05.09.2022
Temperatura na początku pomiaru [°C]	18,0
Temperatura na koniec pomiaru [°C]	19,0
Warunki atmosferyczne	Brak opadów
Wilgotność na początku pomiaru [%]	49,0
Wilgotność na koniec pomiaru [%]	50,0
Godzina na początku pomiaru	13:25
Godzina na koniec pomiaru	15:22
Inne źródła pól elektromagnetycznych oznaczone na załączniku graficznym	Nie występują
Parametry pracy instalacji	Tryb eksploatacyjny

2. Podstawa prawna.

2.1 Normy i rozporządzenia:

- Rozporządzeniem Ministra Klimatu z dnia 17 lutego 2020 r. w sprawie sposobów sprawdzania dotrzymania dopuszczalnych poziomów pól elektromagnetycznych w środowisku (Dz.U. 2020 poz. 258)
- Rozporządzenie Ministra Zdrowia z dnia 17 grudnia 2019 r. w sprawie dopuszczalnych poziomów pól elektromagnetycznych w środowisku (Dz.U. 2019 poz. 2448)
- Obwieszczenie Marszałka Sejmu Rzeczypospolitej Polskiej z dnia 19 lipca 2019 r. w sprawie ogłoszenia jednolitego tekstu ustawy - Prawo ochrony środowiska (Dz.U. 2019 poz. 1396)
- Rozporządzenie Ministra Klimatu i Środowiska z dnia 6 maja 2022 r. zmieniające rozporządzenie w sprawie sposobów sprawdzania dotrzymywania dopuszczalnych poziomów pól elektromagnetycznych w środowisku (Dz.U. 2022 poz. 1121).

„Bez pisemnej zgody Laboratorium niniejsze sprawozdanie nie może być powielane inaczej, jak tylko w całości. Ponadto wyniki dotyczą tylko badanych obiektów przywołanych w niniejszym sprawozdaniu z badań”

3. Opis pomiarów

Metodologia pomiarowa	Pomiary w oparciu o Rozporządzeniem Ministra Klimatu z dnia 17 lutego 2020 r. w sprawie sposobów sprawdzania dotrzymania dopuszczalnych poziomów pól elektromagnetycznych w środowisku (Dz.U. 2020 poz. 258) oraz Rozporządzenie Ministra Klimatu i Środowiska z dnia 6 maja 2022 r. zmieniające rozporządzenie w sprawie sposobów sprawdzania dotrzymywania dopuszczalnych poziomów pól elektromagnetycznych w środowisku (Dz.U. 2022 poz. 1121).
Cel badań	Określenie wartości natężenia pola elektrycznego w miejscach dostępnych dla ludności.
Opis zestawu pomiarowego	Miernik Narda NBM 520, Sonda EF 9091, o zakresie pomiarowym 0,7 V/m - 300V/m pracująca w paśmie 0,1 – 90 GHz, świadectwo wydane przez Laboratorium Wzorców i Metrologii Pola Elektromagnetycznego, Instytut Telekomunikacji, Teleinformatyki i Akustyki Politechniki Wrocławskiej. Świadectwo ważne do 07.07.2023. Miernik Narda NBM 520, Sonda EF 9091 pracująca w zakresie temperatury -10°C - +50°C oraz wilgotności 5% - 95%. Niepewność rozszerzona wynosi 57% przy poziomie ufności 95% z uwzględnieniem współczynnika rozszerzenia k=2.
Wyposażenie pomocnicze	Termohigrometr Termoprodukt, typ: Termik+, nr identyfikacyjny 700618, świadectwo wzorcowania nr 1763/AH/19 z dn. 29.07.2019 r. wydane przez Laboratorium Pomiarowe "MUTECH". Przymiar wstępowy STABILA, nr identyfikacyjny 31WL, świadectwo wzorcowania nr 6W1/1826/19 z dn. 02.08.2019 r. wydane przez Dyrektora Okręgowego Urzędu Miar w Gdańsku. GPS Garmin 64s okresowo sprawdzany w punktach osnowy geodezyjnej klasy 3 na podstawie licencji punktu, zgodnie z procedurą sprawdzeń okresowych IS/PO16-11/03.
Pomiary zostały wykonane	<ol style="list-style-type: none">1. na głównych i pomocniczych kierunkach pomiarowych, na kierunkach zbliżonych do azymutów anten oraz w dodatkowych pionach pomiarowych zgodnie z wymaganiami pkt 12, 13, 14 i 19 Rozporządzenia Ministra Klimatu z dnia 17 lutego 2020 r. (Dz. U. 2020, poz. 258) oraz Rozporządzenia Ministra Klimatu i Środowiska z dnia 6 maja 2022 r. zmieniającego rozporządzenie w sprawie sposobów sprawdzania dotrzymywania dopuszczalnych poziomów pól elektromagnetycznych w środowisku (Dz.U. 2022 poz. 1121).2. na obszarze pomiarowym, dla którego, na podstawie uprzednio przeprowadzonych obliczeń stwierdzono w miejscach dostępnych dla ludności występowanie pól elektromagnetycznych o najwyższym poziomie, które pochodzą z badanej instalacji zgodnie z wymaganiami pkt 5 ppkt 2 oraz pkt 13 ppkt 1 Rozporządzenia Ministra Klimatu z dnia 17 lutego 2020 r. w sprawie sposobów sprawdzania dotrzymania dopuszczalnych poziomów pól elektromagnetycznych w środowisku (Dz. U. 2020, poz. 258) oraz Rozporządzenia Ministra Klimatu i Środowiska z dnia 6 maja 2022 r. zmieniającego rozporządzenie w sprawie sposobów sprawdzania dotrzymywania dopuszczalnych poziomów pól elektromagnetycznych w środowisku (Dz.U. 2022 poz. 1121). Wyniki obliczeń nie uwzględniały parametrów pracy instalacji innych operatorów występujących na obiekcie bądź w obszarze pomiarowym.3. w miejscach dostępnych dla ludności.4. miejsca niedostępne podczas wykonywania pomiarów wskazane zostały w pkt 6 (tabeli wyniki pomiarów).

Szczególne warunki podczas Pomiary wykonane zostały podczas obowiązywania w kraju stanu zagrożenia

„Bez pisemnej zgody Laboratorium niniejsze sprawozdanie nie może być powielane inaczej, jak tylko w całości. Ponadto wyniki dotyczą tylko badanych obiektów przywołanych w niniejszym sprawozdaniu z badań”

wykonywanie pomiarów

epidemicznego, zgodnie z art. 122a ust. 1b Ustawy z dnia 27 kwietnia 2001 r. – Prawo ochrony środowiska (Dz. U. z 2019 r. poz. 1396, z późn. zm.9)).

Warunki pracy urządzeń nadawczych

Tryb pracy eksploatacyjny.

4. Zróżnicowanie dopuszczalne poziomy pól elektromagnetycznych.

Zakresy znajdują się w Dzienniku Ustaw z dnia 17 grudnia 2019 r. przedstawione są w tabeli nr 2 (Dz. U. z 2019r. poz. 2448).

Parametr fizyczny	Składowa elektryczna E (V/m)	Składowa magnetyczna H (A/m)	Gęstość mocy S (W/m ²)
Zakres Częstotliwości pola elektromagnetycznego			
od 400 MHz do 2000 MHz	$1,375 \times f^{0,5}$	$0,0037 \times f^{0,5}$	$f / 200$
od 2 GHz do 300 GHz	61	0,16	10

5. Charakterystyka źródeł PEM.

Zgodnie z informacją otrzymaną od Klienta pomiary zostały wykonane przy ustawieniach pochyleń anten zgodnych z pkt. 13, ppkt 2 Rozporządzenia Ministra Klimatu z dnia 17 lutego 2020 roku.

Tabela 1. Anteny sektorowe - dane otrzymane od klienta

Charakterystyka promieniowania		kierunkowa														
Rzeczywisty czas pracy [h/dobę]		24														
Rodzaj wytwarzanego pola		stacjonarne														
Lp	Wyszczególnienie	sektor 1							sektor 2							
I																
Nadajnik stacji bazowej:																
1	Typ / Producent	RBS / SRAN Ericsson														
2	Częstotliwość (pasmo) MHz	2600	2100	1800	900	800	2600	2100	1800	900	2600	2100	1800	800		
3	Maksymalna moc nadawana na sektor [dBm]	52,04	53,01	53,01	49,03	49,03	49,03	50	50	49,03	49,03	50	50	49,03		
II																
Obciążenie:																
1	Typ anteny	Huawei ATR4518R13					Huawei ADU4518R9				Huawei ADU4518R9					
2	Producent anteny	Huawei					Huawei				Huawei					
3	Ilość anten	1					1				1					
4	Azymut	0					120									
5	Zakres kątów pochyleń anten [°]	0-10	0-10	0-10	0-14	0-14	2-12	2-12	2-12	0-15	2-12	2-12	2-12	0-15		
6	Wysokość zainst. n.p.t. [m]	19,20					20,20									
7	EIRP [W]	33860					15140				15006					

Charakterystyka promieniowania		kierunkowa						
Rzeczywisty czas pracy [h/dobę]		24						
Rodzaj wytwarzanego pola		stacjonarne						
Lp	Wyszczególnienie	sektor 3						
I Nadajnik stacji bazowej:								
1	Typ / Producent	RBS / SRAN Ericsson						
2	Częstotliwość (pasmo) MHz	2600	2100	1800	800	2100	1800	900
3	Maksymalna moc nadawana na sektor [dBm]	52,04	50	50	49,03	50	50	49,03
II Obciążenie:								
1	Typ anteny	Huawei ADU4518R6	Huawei ADU4518R9	Huawei ADU4518R9				
2	Producent anteny	Huawei	Huawei	Huawei				
3	Ilość anten	1	1	1				
4	Azymut	240						
5	Zakres kątów pochylenia anten [°]	0-12	2-12	2-12	0-15	2-12	2-12	0-15
6	Wysokość zainst. n.p.t. [m]	19,20						
7	EIRP [W]	9114	10983	11120				

Tabela 2. Anteny radioliniowe- dane otrzymane od klienta

Charakterystyka promieniowania				kierunkowa			
Rzeczywisty czas pracy [h/dobę]				24			
Rodzaj wytwarzanego pola				stacjonarne			
Lp	Linia radiowa			Antena			
	typ/producent	częstotliwość pracy [GHz]	moc wyjściowa [dBm]	typ/producent	średnica anteny [m]	azymut [°]	wysokość zainstal. [m]
1	OPTIX RTN/HUAWEI	80	18	VHLP1-80/Andrew	0,3	139	18,50
2	OPTIX RTN/HUAWEI	80	18	VHLP1-80/Andrew	0,3	200	18,90

6. Wyniki pomiarów.

Wyniki pomiarów pól elektromagnetycznych dla celów ochrony środowiska przedstawia poniższa tabela. Piony pomiarowe zostały przedstawione w zał. 2.

Nr PP	Pole-E [V/m]	Pole-E +U [V/m]	Pole-H [A/m]	Pole-H +U [A/m]	Wys. pomiaru [m]	Opis pionu	Uwagi	WM _E	WM _H
1	0,9	1,41	0,002	0,004	0,3-2,0	N:50°52'17.1" E:20°38'01.9"	otoczenie stacji bazowej - 10m wzdłuż gł. osi promieniowania - GKP	0,050	0,051
2	0,9	1,41	0,002	0,004	0,3-2,0	N:50°52'19.2" E:20°38'02.0"	otoczenie stacji bazowej - 70m wzdłuż gł. osi promieniowania - GKP	0,050	0,051
3	0,8	1,26	0,002	0,003	0,3-2,0	N:50°52'20.8" E:20°38'01.9"	otoczenie stacji bazowej - 125m wzdłuż gł. osi promieniowania - GKP	0,045	0,046
4	0,7*	1,26	0,002	0,003	0,3-2,0	N:50°52'22.6" E:20°38'02.1"	otoczenie stacji bazowej - 175m wzdłuż gł. osi promieniowania - GKP	0,045	0,046
5	0,7*	1,26	0,002	0,003	0,3-2,0	N:50°52'23.0" E:20°38'02.1"	otoczenie stacji bazowej - 195m wzdłuż gł. osi promieniowania - GKP	0,045	0,046
6	0,8	1,26	0,002	0,003	0,3-2,0	N:50°52'15.3" E:20°38'03.9"	otoczenie stacji bazowej - 50m wzdłuż gł. osi promieniowania - GKP	0,045	0,046
7	0,8	1,26	0,002	0,003	0,3-2,0	N:50°52'14.9" E:20°38'04.8"	otoczenie stacji bazowej - 75m wzdłuż gł. osi promieniowania - GKP	0,045	0,046
8	0,8	1,26	0,002	0,003	0,3-2,0	N:50°52'14.6" E:20°38'06.2"	otoczenie stacji bazowej - 100m wzdłuż gł. osi promieniowania - GKP	0,045	0,046
9	0,8	1,26	0,002	0,003	0,3-2,0	N:50°52'14.2" E:20°38'07.1"	otoczenie stacji bazowej - 125m wzdłuż gł. osi promieniowania - GKP	0,045	0,046

„Bez pisemnej zgody Laboratorium niniejsze sprawozdanie nie może być powielane inaczej, jak tylko w całości. Ponadto wyniki dotyczą tylko badanych obiektów przywołanych w niniejszym sprawozdaniu z badań”

10	0,7*	1,26	0,002	0,003	0,3-2,0	N:50°52'12.9" E:20°38'10.4"	otoczenie stacji bazowej - 202m wzdłuż gł. osi promieniowania - GKP	0,045	0,046
11	0,9	1,41	0,002	0,004	0,3-2,0	N:50°52'15.4" E:20°37'59.8"	otoczenie stacji bazowej - 40m wzdłuż gł. osi promieniowania - GKP	0,050	0,051
12	1,0	1,57	0,003	0,004	0,3-2,0	N:50°52'14.5" E:20°37'57.3"	otoczenie stacji bazowej - 100m wzdłuż gł. osi promieniowania - GKP	0,056	0,057
13	0,9	1,41	0,002	0,004	0,3-2,0	N:50°52'15.4" E:20°38'02.5"	otoczenie stacji bazowej - 25m wzdłuż gł. osi promieniowania - GKP	0,050	0,051
14	0,8	1,26	0,002	0,003	0,3-2,0	N:50°52'14.8" E:20°38'01.1"	otoczenie stacji bazowej - 40m wzdłuż gł. osi promieniowania - GKP	0,045	0,046
15	0,9	1,41	0,002	0,004	0,3-2,0	N:50°52'16.3" E:20°38'00.8"	otoczenie stacji bazowej - GKP	0,050	0,051
16	0,8	1,26	0,002	0,003	0,3-2,0	N:50°52'16.8" E:20°38'01.4"	otoczenie stacji bazowej - GKP	0,045	0,046
17	0,8	1,26	0,002	0,003	0,3-2,0	N:50°52'17.7" E:20°38'02.6"	otoczenie stacji bazowej - GKP	0,045	0,046
18	0,8	1,26	0,002	0,003	0,3-2,0	N:50°52'17.1" E:20°38'03.1"	otoczenie stacji bazowej - GKP	0,045	0,046
A	0,9	1,41	0,002	0,004	0,3-2,0	N:50°52'18.9" E:20°37'59.3"	Bodzyńska 3, pomiar przed budynkiem -DPP	0,050	0,051
B	0,9	1,41	0,002	0,004	0,3-2,0	N:50°52'19.1" E:20°38'00.7"	Bodzyńska 5, pomiar przed budynkiem -DPP	0,050	0,051
C	0,9	1,41	0,002	0,004	0,3-2,0	N:50°52'20.3" E:20°38'01.4"	Bodzyńska 7, pomiar przed budynkiem -DPP	0,050	0,051
D	0,9	1,41	0,002	0,004	0,3-2,0	N:50°52'19.6" E:20°38'01.8"	Bodzyńska 9, pomiar przed budynkiem -DPP	0,050	0,051
E	0,8	1,26	0,002	0,003	0,3-2,0	N:50°52'19.2" E:20°38'02.5"	Bodzyńska 11, pomiar przed budynkiem -DPP	0,045	0,046
F	0,8	1,26	0,002	0,003	0,3-2,0	N:50°52'19.4" E:20°38'03.5"	Bodzyńska 13, pomiar przed budynkiem -DPP	0,045	0,046
G	0,7*	1,26	0,002	0,003	0,3-2,0	N:50°52'17.4" E:20°37'56.7"	Rynek 9, pomiar przed budynkiem - DPP	0,045	0,046
H	0,7*	1,26	0,002	0,003	0,3-2,0	N:50°52'17.8" E:20°37'56.7"	Rynek 8, pomiar przed budynkiem - DPP	0,045	0,046
I	0,7*	1,26	0,002	0,003	0,3-2,0	N:50°52'17.9" E:20°37'56.8"	Rynek 7, pomiar przed budynkiem - DPP	0,045	0,046
J	0,7*	1,26	0,002	0,003	0,3-2,0	N:50°52'18.2" E:20°37'57.6"	Rynek 6, pomiar przed budynkiem - DPP	0,045	0,046
K	0,7*	1,26	0,002	0,003	0,3-2,0	N:50°52'18.5" E:20°37'58.6"	Bodzyńska 2, pomiar przed budynkiem -DPP	0,045	0,046
L	0,7*	1,26	0,002	0,003	0,3-2,0	N:50°52'18.7" E:20°37'59.2"	Bodzyńska 4, pomiar przed budynkiem -DPP	0,045	0,046
M	0,7*	1,26	0,002	0,003	0,3-2,0	N:50°52'18.8" E:20°37'59.7"	Bodzyńska 6, pomiar przed budynkiem -DPP	0,045	0,046
N	0,7*	1,26	0,002	0,003	0,3-2,0	N:50°52'18.9" E:20°38'00.3"	Bodzyńska 8, pomiar przed budynkiem -DPP	0,045	0,046
O	0,7*	1,26	0,002	0,003	0,3-2,0	N:50°52'19.0" E:20°38'01.1"	Bodzyńska 10, pomiar przed budynkiem -DPP	0,045	0,046
P	0,7*	1,26	0,002	0,003	0,3-2,0	N:50°52'19.1" E:20°38'01.8"	Bodzyńska 12a, pomiar przed budynkiem -DPP	0,045	0,046
R	0,7*	1,26	0,002	0,003	0,3-2,0	N:50°52'19.2" E:20°38'02.4"	Bodzyńska 14, pomiar przed budynkiem -DPP	0,045	0,046
S	0,8	1,26	0,002	0,003	0,3-2,0	N:50°52'19.2" E:20°38'02.9"	Bodzyńska 16, pomiar przed budynkiem -DPP	0,045	0,046
T	0,9	1,41	0,002	0,004	0,3-2,0	N:50°52'19.2" E:20°38'03.6"	Bodzyńska 18, pomiar przed budynkiem -DPP	0,050	0,051
U	0,9	1,41	0,002	0,004	0,3-2,0	N:50°52'19.2" E:20°38'04.2"	Bodzyńska 20, pomiar przed budynkiem -DPP	0,050	0,051
W	0,8	1,26	0,002	0,003	0,3-2,0	N:50°52'19.2" E:20°38'05.9"	Bodzyńska 24/26, pomiar przed budynkiem -DPP	0,045	0,046
V	0,8	1,26	0,002	0,003	0,3-2,0	N:50°52'18.5" E:20°38'04.8"	Wesoła 1, pomiar przed budynkiem - DPP	0,045	0,046
X	0,9	1,41	0,002	0,004	0,3-2,0	N:50°52'18.5" E:20°38'03.9"	Wesoła 3, pomiar przed budynkiem - DPP	0,050	0,051
Y	0,9	1,41	0,002	0,004	0,3-2,0	N:50°52'18.4" E:20°38'03.4"	Wesoła 6, pomiar przed budynkiem - DPP	0,050	0,051

Z	0,9	1,41	0,002	0,004	0,3-2,0	N:50°52'17.9" E:20°38'02.6"	Wesoła 8, pomiar przed budynkiem - DPP	0,050	0,051
A1	0,9	1,41	0,002	0,004	0,3-2,0	N:50°52'17.9" E:20°38'01.6"	Bodzentyńska 12b, pomiar przed budynkiem -DPP	0,050	0,051
B1	0,9	1,41	0,002	0,004	0,3-2,0	N:50°52'17.3" E:20°38'01.6"	Wesoła 12, pomiar przed budynkiem -DPP	0,050	0,051
C1	0,8	1,26	0,002	0,003	0,3-2,0	N:50°52'16.2" E:20°38'00.6"	Wesoła 18, pomiar przed budynkiem -DPP	0,045	0,046
D1	0,8	1,26	0,002	0,003	0,3-2,0	N:50°52'15.6" E:20°37'59.6"	Wesoła 24, pomiar przed budynkiem -DPP	0,045	0,046
E1	0,8	1,26	0,002	0,003	0,3-2,0	N:50°52'15.2" E:20°37'59.2"	Wesoła 26, pomiar przed budynkiem -DPP	0,045	0,046
F1	0,8	1,26	0,002	0,003	0,3-2,0	N:50°52'14.8" E:20°37'58.7"	Wesoła 28, pomiar przed budynkiem -DPP	0,045	0,046
G1	1,0	1,57	0,003	0,004	0,3-2,0	N:50°52'14.4" E:20°37'58.6"	Św. Leonarda 26, pomiar przed budynkiem -DPP	0,056	0,057
H1	0,7*	1,26	0,002	0,003	0,3-2,0	N:50°52'15.1" E:20°37'59.2"	Wesoła 17a, pomiar przed budynkiem -DPP	0,045	0,046
I1	0,8	1,26	0,002	0,003	0,3-2,0	N:50°52'15.3" E:20°37'59.7"	Wesoła 13/15, pomiar przed budynkiem -DPP	0,045	0,046
J1	0,9	1,41	0,002	0,004	0,3-2,0	N:50°52'16.0" E:20°38'00.7"	Wesoła 11, pomiar przed budynkiem -DPP	0,050	0,051
K1	0,9	1,41	0,002	0,004	0,3-2,0	N:50°52'16.5" E:20°38'01.6"	Wesoła 9, pomiar przed budynkiem - DPP	0,050	0,051
L1	0,9	1,41	0,002	0,004	0,3-2,0	N:50°52'17.1" E:20°38'02.1"	Wesoła 7, pomiar przed budynkiem - DPP	0,050	0,051
M1	1,2	1,88	0,003	0,005	0,3-2,0	N:50°52'17.8" E:20°38'03.2"	Wesoła 6, pomiar przed budynkiem - DPP	0,067	0,068
N1	1,2	1,88	0,003	0,005	0,3-2,0	N:50°52'16.4" E:20°38'05.1"	Niecała 5, pomiar przed budynkiem - DPP	0,067	0,068
O1	1,1	1,73	0,003	0,005	0,3-2,0	N:50°52'16.8" E:20°38'04.0"	Niecała 5a, pomiar przed budynkiem -DPP	0,062	0,063
P1	1,2	1,88	0,003	0,005	0,3-2,0	N:50°52'15.7" E:20°38'02.9"	Niecała 3, pomiar przed budynkiem - DPP	0,067	0,068
R1	1,2	1,88	0,003	0,005	0,3-2,0	N:50°52'15.9" E:20°38'02.2"	Niecała 1, pomiar przed budynkiem - DPP	0,067	0,068
S1	1,2	1,88	0,003	0,005	0,3-2,0	N:50°52'15.4" E:20°38'02.9"	Niecała 4/6/8, pomiar przed budynkiem -DPP	0,067	0,068
T1	0,7*	1,26	0,002	0,003	0,3-2,0	N:50°52'13.8" E:20°38'07.9"	Kościuszki 5, pomiar przed budynkiem -DPP	0,045	0,046
U1	0,9	1,41	0,002	0,004	0,3-2,0	N:50°52'14.3" E:20°38'02.5"	Św. Leonarda 10, pomiar przed budynkiem -DPP	0,050	0,051
W1	0,9	1,41	0,002	0,004	0,3-2,0	N:50°52'13.3" E:20°38'00.2"	Św. Leonarda 12, pomiar przed budynkiem -DPP	0,050	0,051
V1	0,8	1,26	0,002	0,003	0,3-2,0	N:50°52'13.5" E:20°37'59.8"	Św. Leonarda 14, pomiar przed budynkiem -DPP	0,045	0,046
X1	1,0	1,57	0,003	0,004	0,3-2,0	N:50°52'14.9" E:20°37'56.7"	Św. Leonarda 18, pomiar przed budynkiem -DPP	0,056	0,057
Y1	0,9	1,41	0,002	0,004	0,3-2,0	N:50°52'14.6" E:20°37'56.6"	Św. Leonarda 19, pomiar przed budynkiem -DPP	0,050	0,051
Z1	0,9	1,41	0,002	0,004	0,3-2,0	N:50°52'13.4" E:20°37'56.9"	Wesoła 36, pomiar przed budynkiem -DPP	0,050	0,051
A2	0,7*	1,26	0,002	0,003	0,3-2,0	N:50°52'14.9" E:20°37'52.4"	Duża 7, pomiar przed budynkiem - DPP	0,045	0,046
B2	0,7*	1,26	0,002	0,003	0,3-2,0	N:50°52'14.4" E:20°37'51.8"	Duża 9, pomiar przed budynkiem - DPP	0,045	0,046
C2	0,7*	1,26	0,002	0,003	0,3-2,0	N:50°52'12.1" E:20°37'54.1"	Sienkiewicza 18, pomiar przed budynkiem -DPP	0,045	0,046

Wynik pomiaru pole - E [V/m] - maksymalna wartość chwilowa zmierzona w danym pionie pomiarowym (uśredniona na podstawie punktu 11 Rozporządzenia Ministra Zdrowia).

Przyjęto najniższą dopuszczalną wartość składowej elektrycznej pola dla objętego pomiarami zakresu częstotliwości $\min(ME_{gr}) = 28 \text{ V/m}$ oraz składowej magnetycznej $\min(MH_{gr}) = 0,073 \text{ A/m}$.

* - wartość zmierzona poniżej zakresu akredytacji. Do obliczeń przyjęto wartość zgodną z dolną granicą akredytowanego zakresu pomiarowego metody.

GKP - główne kierunki pomiarowe

„Bez pisemnej zgody Laboratorium niniejsze sprawozdanie nie może być powielane inaczej, jak tylko w całości. Ponadto wyniki dotyczą tylko badanych obiektów przywołanych w niniejszym sprawozdaniu z badań”

PKP - pomocnicze kierunki pomiarowe

DPP - dodatkowe punkty pomiarowe

PP - pion pomiarowy

U - niepewność pomiarowa rozszerzona, przy poziomie ufności 95%, z uwzględnieniem współczynnika rozszerzenia $k=2$

WM_E - wartość wskaźnikowa poziomu emisji pól elektromagnetycznych dla miejsc dostępnych dla ludności dla składowej elektrycznej pola

WM_H - wartość wskaźnikowa poziomu emisji pól elektromagnetycznych dla miejsc dostępnych dla ludności dla składowej magnetycznej pola

7. Stwierdzenie zgodności

Na podstawie wytycznych podanych w Rozporządzeniu Ministra Zdrowia z dnia 17 grudnia 2019 r. w sprawie dopuszczalnych poziomów pól elektromagnetycznych w środowisku (Dz.U. 2019 poz. 2448) oraz sposobów sprawdzania dotrzymania tych poziomów zgodnie z Rozporządzeniem Ministra Klimatu z dnia 17 lutego 2020 r. w sprawie sposobów sprawdzania dotrzymania dopuszczalnych poziomów pól elektromagnetycznych w środowisku (Dz.U. 2020 poz. 258) oraz Rozporządzeniem Ministra Klimatu i Środowiska z dnia 6 maja 2022 r. zmieniającego rozporządzenie w sprawie sposobów sprawdzania dotrzymania dopuszczalnych poziomów pól elektromagnetycznych w środowisku (Dz.U. 2022 poz. 1121), dotyczących źródła wymagań, które muszą być spełnione, w oparciu o zasadę podejmowania decyzji zgodną z pkt 26 Rozporządzenia Ministra Klimatu z dnia 17 lutego 2020 r. (Dz.U. 2020 poz. 258), na podstawie wyników pomiarów pól elektromagnetycznych wykonanych w dniu 05.09.2022 stwierdzono, iż w miejscach dostępnych dla ludności, dopuszczalne poziomy pól elektromagnetycznych w środowisku, określone w przepisach wydanych na podstawie art. 122 ust. 1 ustawy z dnia 27 kwietnia 2001 r. – Prawo ochrony środowiska, uznaje się za dotrzymane w obszarze pomiarowym, w którym w wyniku zastosowania sposobu sprawdzenia dotrzymania dopuszczalnych poziomów pól elektromagnetycznych w środowisku, udokumentowano, że żadna z wartości wskaźnikowych nie przekracza wartości 1.

8. Oświadczenie.

Wyniki badania odnoszą się wyłącznie do badanego obiektu.

Bez pisemnej zgody sprawozdanie nie może być powielane inaczej, jak tylko w całości.

Uwagi i zastrzeżenia przyjmowane są w formie pisemnej w ciągu 14 dni od daty otrzymania sprawozdania.

9. Spis załączników.

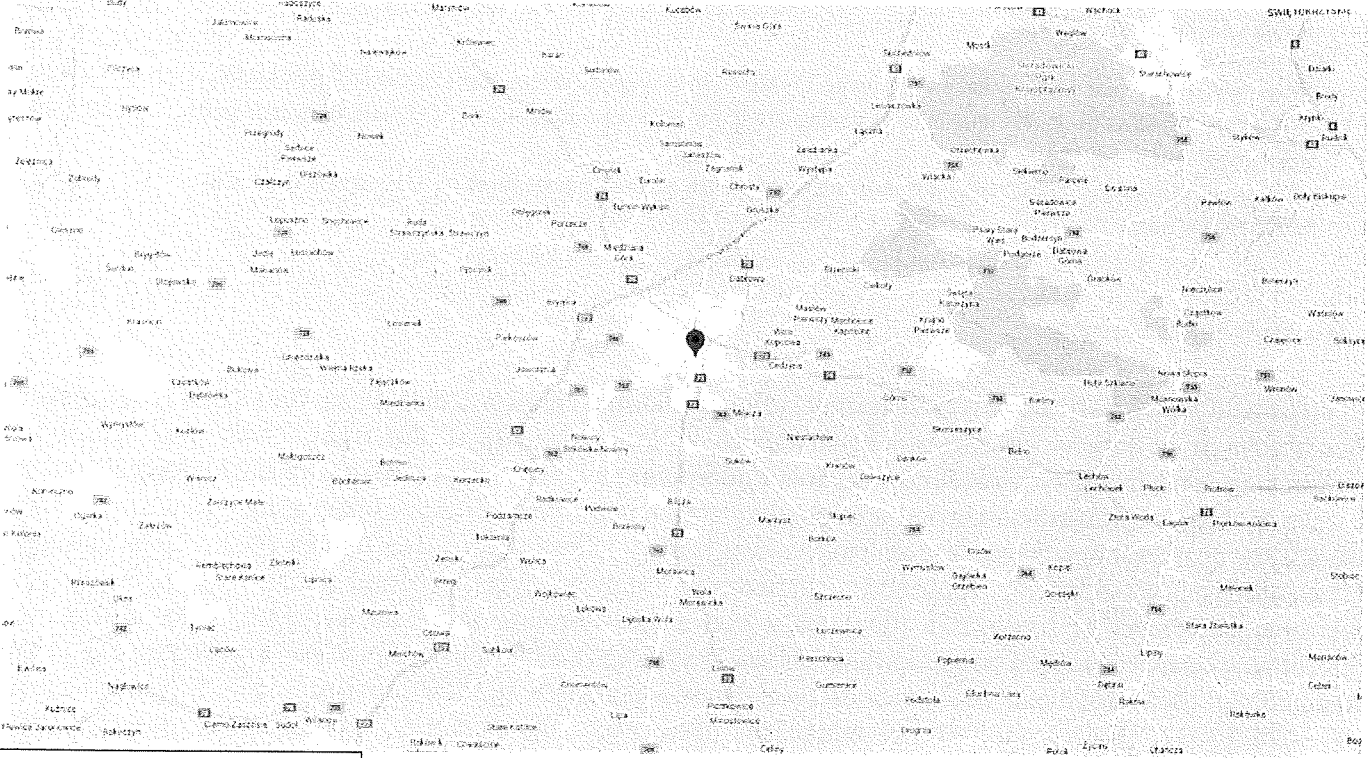
Zał. 1. Lokalizacja obiektu.

Zał. 2. Widok pionów pomiarowych

Zał. 3. Załączniki graficzne

Koniec sprawozdania

Zał. 1. Lokalizacja obiektu

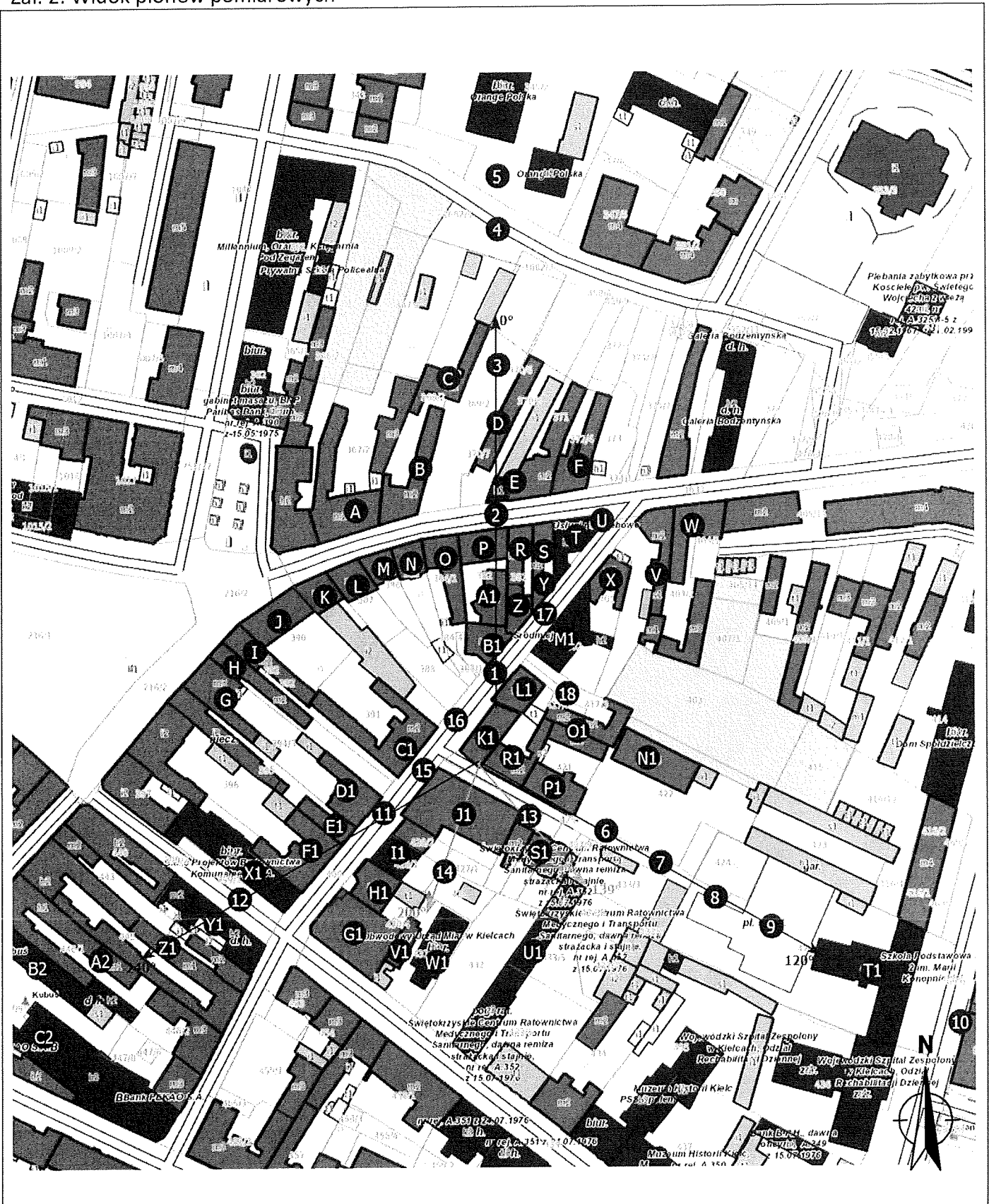


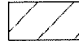




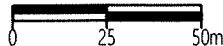
Współrzędne geograficzne

długość: 20°38'01.85"E

szerokość: 50°52'16.35"N

Zał. 2. Widok pionów pomiarowych



<p>LEGENDA:</p> <ul style="list-style-type: none">  brak dostępu  inna instalacja radiokomunikacyjna  nr pion pomiaru  antena sektorowa  antena radioliowa 	<p style="text-align: right;">Skala: 1:2300</p> <div style="text-align: right;">  </div>
---	---

